

УДК 541.136

ЭЛЕКТРОХИМИЧЕСКИЕ ХАРАКТЕРИСТИКИ КОМПОЗИЦИОННЫХ МАТЕРИАЛОВ НА ОСНОВЕ СПЛАВОВ ТИПА AB_5 И AB_2

А. Н. Степанов, К. В. Елисеев, А. А. Заев, И. А. Казаринов

Саратовский государственный университет им. Н. Г. Чернышевского, Россия

E-mail: kazarinovIA@info.sgu.ru

Поступила в редакцию 24.03.11 г.

Проведено сравнительное изучение удельной разрядной ёмкости металлогидридных электродов (МГ) на основе водородсorбирующих сплава типа AB_2 ($ZrNi_{1.2}Mn_{0.5}Cr_{0.2}V_{0.1}$) и его композиций со сплавом типа AB_5 [интерметаллид $LaNi_5$ с доминирующими компонентами (Co, Mn, Ca)] в процессе формирования никель-металлогидридного аккумулятора. Установлено, что наиболее эффективно формирование активной массы МГ электрода (на пятом заряд-разрядном цикле) происходит при соотношении порошковых композиций сплавов $AB_2 : AB_5 = 1:1$.

Ключевые слова: никель-металлогидридный аккумулятор, металлогидридный электрод, композиционные материалы.

A comparative study was made of specific discharging capacity of metal hydride electrodes (MH) based on a hydrogen-sorbing AB_2 alloy ($ZrNi_{1.2}Mn_{0.5}Cr_{0.2}V_{0.1}$) and its compositions with an AB_5 alloy [the intermetallic $LaNi_5$ with predominating components (Co, Mn, Ca)] in the course of the nickel-metal hydride battery formation. The formation of the active mass of the MH electrode (on the fifth charge-discharge cycle) has been found to proceed most effectively at a powder composition ratio of alloys $AB_2 : AB_5 = 1:1$.

Rey words: nickel-metal hydride battery, metal hydride electrode, composite materials.

ВВЕДЕНИЕ

Сплавы типа AB_2 на основе циркония и титана являются перспективными в плане их использования в качестве электроактивного материала отрицательного электрода никель-металлогидридного аккумулятора [1–3]. Вместе с тем весьма сложной задачей является предварительная активация электродов из этих сплавов. Электрохимическая формировка водородаккумулирующего материала на основе циркония может достигать 50 заряд–разрядных циклов [4]. Для ускорения активации сплавов типа AB_2 предлагается достаточно большое количество методов поверхностной модификации: циклическая термическая обработка (473–673 К) попеременно в атмосфере кислорода и водорода [5, 6]; фторирование [7, 8]; выдержка сплава в кипящем растворе концентрированной щелочи [9–11], импульсный режим циклирования при повышенных токовых нагрузках [12]; восстановление оксидных слоев на поверхности в щелочном растворе [13, 14].

Некоторые исследования последних лет [15–18] позволяют сделать вывод о том, что перспективным направлением в технологии изготовления активной массы металлогидридного электрода является применение композиционных материалов из водородаккумулирующих сплавов различного типа с целью достижения более быстрой формирования металлогидридного электрода за счет легкоактивируемого сплава. Поэтому целью настоящей работы явилось изучение процесса формировки композитного металлогидридно-

го электрода на основе водородсorбирующих сплавов типа AB_2 и AB_5 .

ЭКСПЕРИМЕНТАЛЬНАЯ ЧАСТЬ

Исследовались МГ электроды, изготовленные по намазной технологии [19]. Порошки водородсorбирующего сплава и электропроводящего компонента смешивались в сухом виде. Затем переводились в состояние водной суспензии с органическим связующим (4%-ный раствор поливинилового спирта). Полученная масса наносилась на пеноникелевую основу. После сушки электроды прессовались под давлением 150 кг/см².

В качестве водородсorбирующих агентов использовались порошки сплавов типа AB_2 ($ZrNi_{1.2}Mn_{0.5}Cr_{0.2}V_{0.1}$) и AB_5 . Активная масса МГ электродов составлялась из различных комбинаций водородсorбирующих сплавов и карбонильного никеля (табл. 1).

Электрохимические испытания проводились с помощью программно-аппаратного комплекса, включающего гальваностат, электронный пульт управления и персональный компьютер с программным обеспечением.

РЕЗУЛЬТАТЫ И ИХ ОБСУЖДЕНИЕ

Проведено исследование электрохимических характеристик сплава $ZrNi_{1.2}Mn_{0.5}Cr_{0.2}V_{0.1}$ (AB_2) и систем на основе сплавов AB_5 [20, 21] и AB_2 при их различном сочетании.

На рис. 1 и 2 приведены разрядные кривые МГ электродов на первом и седьмом циклах электро-

Таблица 1

Составы активной массы исследуемых металлогидридных электродов на основе композиций сплавов типа AB_5 и AB_2

№ варианта	Водород-сорбирующий сплав AB_5 , мас. %	Водород-сорбирующий сплав AB_2 , мас. %	Никель карбонильный марки ПН-С27, мас. %
1	0	80	20
2	10	70	20
3	20	60	20
4	40	40	20
5	40*	40	20

*Использовалась грубодисперсная фракция сплава типа AB_5 [21].

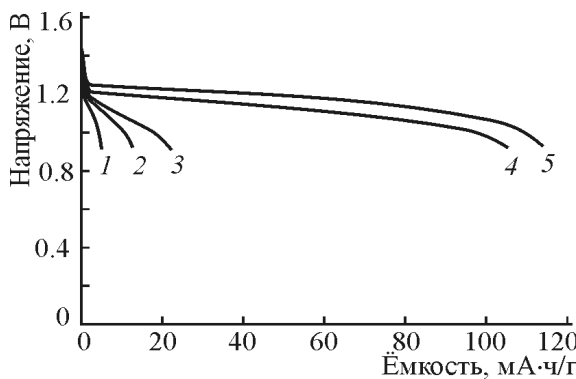


Рис.1. Разрядные кривые композиционных металлогидридных электродов на первом цикле: 1 – сплав AB_2 (80 мас.%) + никель карбонильный (20 мас. %); 2 – сплав AB_2 (70 мас.%) + сплав AB_5 (10 мас.%) + никель карбонильный (20 мас. %); 3 – сплав AB_2 (60 мас.%) + сплав AB_5 (20 мас.%) + никель карбонильный (20 мас. %); 4 – сплав AB_2 (40 мас.%) + сплав AB_5 (40 мас.%) + никель карбонильный (20 мас. %); 5 – сплав AB_2 (40 мас.%) + сплав AB_5 (40 мас.%) * + никель карбонильный (20 мас. %). Ток разряда – 30 мА/г

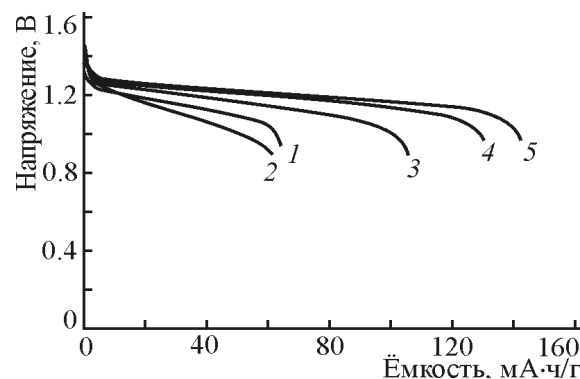


Рис.2. Разрядные кривые композиционных металлогидридных электродов на седьмом цикле: 1 – сплав AB_2 (80 мас.%) + никель карбонильный (20 мас. %); 2 – сплав AB_2 (70 мас.%) + сплав AB_5 (10 мас.%) + никель карбонильный (20 мас. %); 3 – сплав AB_2 (60 мас.%) + сплав AB_5 (20 мас.%) + никель карбонильный (20 мас. %); 4 – сплав AB_2 (40 мас.%) + сплав AB_5 (40 мас.%) + никель карбонильный (20 мас. %); 5 – сплав AB_2 (40 мас.%) + сплав AB_5 (40 мас.%) * + никель карбонильный (20 мас. %); Ток разряда – 60 мА/г

химической формировки. В табл. 2 и на рис. 3 представлено изменение разрядной ёмкости МГ электродов в процессе циклирования.

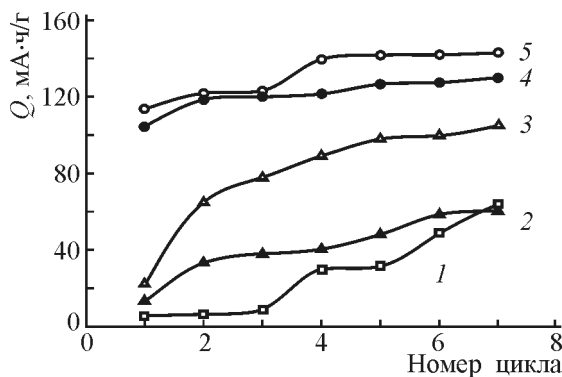


Рис.3. Изменение разрядной ёмкости исследуемых МГ электродов в процессе формирования. Кривые 1–5 соответствуют номеру варианта активной массы

Как следует из результатов электрохимических испытаний МГ электродов вариантов 1–5, эффект «быстрого» активирования МГ электрода (циклы 4, 5, по типу сплава AB_5) возможен при сочетании сплавов AB_5 и AB_2 в соотношении 1:1. В этом случае сплав AB_5 действительно, как показано в работе [22], способен выполнять роль «водородной помпы» для сплава AB_2 , то есть дополнительно насыщать его водородом за счет гетерогенной диффузии в зонах механического контакта частиц сплава различного типа. Разрядная ёмкость МГ электродов подобного типа (варианты 4 и 5) соответствует и немного превышает по своим значениям характеристики водородсорбирующего сплава AB_5 и не обнаруживает тенденции к деградации.

Электрохимические характеристики композиционных материалов

Таблица 2

Изменение разрядной ёмкости исследуемых металлогидридных электродов в процессе электрохимических испытаний

№ варианта	Разрядная ёмкость, мА·ч/г						
	1-й цикл	2-й цикл	3-й цикл	4-й цикл	5-й цикл	6-й цикл	7-й цикл
1	5±1	6±1	9±1	30±1	32±2	49±1	64±10
2	13±1	33±2	38±1	40±1	48±2	58±1	61±1
3	22±2	65±1	78±1	89±2	98±1	100±1	105±2
4	105±1	119±1	120±1	122±1	127±1	127±1	131±2
5	114±2	122±1	124±1	140±1	142±2	143±2	143±2

ЗАКЛЮЧЕНИЕ

Показано, что применение сплава AB_5 совместно с AB_2 в качестве материалов для металлогидридных электродов значительно ускоряет процесс формирования вторичной структуры системы относительно металлогидридного электрода на основе сплава типа AB_2 . Также, очевидно, что применение композитов с равными массовыми долями обоих сплавов не приводит к снижению разрядных характеристик, однако помогает уменьшить расход более дорогого (содержащего редкоземельные элементы) компонента в 2 раза.

Работа выполнена при финансовой поддержке Министерства образования и науки РФ (ФЦП «Научные и научно-педагогические кадры инновационной России на 2009–2013 годы», государственный контракт № П-2273).

СПИСОК ЛИТЕРАТУРЫ

1. Wojcik G., Korczyk M., Mlynarek G. // J. Power Sources. 1996. Vol. 58, iss. 1. P.73–76.
2. Lee H.-H., Lee K.-Y., Lee J.-Y. // J. Alloys Compds. 1997. Vol. 253–254. P. 601–605.
3. Park H. Y., Chang I., Cho W. I. // Intern. J. Hydrogen Energy. 2001. Vol. 26, iss. 9. P. 949–954.
4. Lee S.-M., Kim S.-H., Lee J.-Y. // J. Alloys Compds. 2002. Vol. 330–332. P. 796–801.
5. Owens M. S., Cocke D. L., Wright R. B., Hankins M. R. // J. Vacuum Science and Technology. 1987. A5, №4. P. 593–595.
6. Owens M. S., Cocke D. L., Wright R. B. // Applied Surface Science. 1988. №31. P. 341–344.
7. Li Z. P., Higuchi E., Liu B. H., Suda S. // J. Alloys Compds. 1999. Vol. 293–295. P. 593–597.
8. Ramya K., Rajalakshmi N., Sridhar P., Sivasankar B. // J. Alloys Compds. 1999. Vol. 293–295. P. 593–597.
9. Iwakura Ch., Choi W.-K., Zhang Sh. G., Inoue H. // Electrochim. Acta. 1998. Vol. 44, iss.10. P. 1677–1679.
10. Choi W.-K., Yamataka K., Zhang Sh. G. // J. Electrochem. Soc. 1999. Vol. 146, №1. P.46–49.
11. Kim D.-M., Jang K.-J., Lee J.-Y. // J. Alloys Compds. 1999. Vol. 293–295. P. 583–587.
12. Wu M.-S., Wang Y.-Y., Wan Chi-Ch. // J. Electrochem. Soc. 2000. Vol. 147, iss.11. P. 4065–4068.
13. Iwakura Ch., Kim I., Matsui N. // Electrochim. Acta. 1995. Vol. 40, iss.5. P.561–565.
14. Chen W. // J. Power Sources. 2001. Vol. 92, iss.1–2. P. 102–104.
15. Gao X. P., Wang F. X., Liu Y. et al. // J. Electrochim. Soc. 2002. Vol. 149, iss. 12. P. A1616.
16. Han S. S., Goo N. H., Lee K. S. // J. Alloys Compds. 2003. Vol. 360, iss. 1–2. P. 243.
17. Zhu M., Wang Z. M., Peng C. H. et al. // J. Alloys Compds. 2003. Vol. 349, iss. 1–2. P. 284.
18. Li Sh., Pan G., Zhang Y. et al. // Ibid. 2003. Vol. 353, iss.1–2. P. 295.
19. Савина Е. Е., Талаловская Н. М., Семыкин А. В., Казаринов И. А. //Фундаментальные проблемы электрохимической энергетики : материалы VI Междунар. конф. Саратов : Изд-во Сарат. ун-та, 2005. С. 568–569.
20. Степанов А. Н., Савина Е. Е., Елисеев К. В., Заев А. А., Казаринов И. А. // Электрохим. энергетика. 2009. Т. 9, № 3. С. 152–155.
21. Степанов А. Н., Савина Е. Е., Елисеев К. В., Заев А. А., Казаринов И. А., Решетов В. А. // Электрохим. энергетика. 2009. Т. 9, № 4. С. 218–221.
22. Шохор А. В., Громова Н. Г. // Сборник научных трудов по химическим источникам тока. СПб.: Химиздат, 2004. С. 97–103.